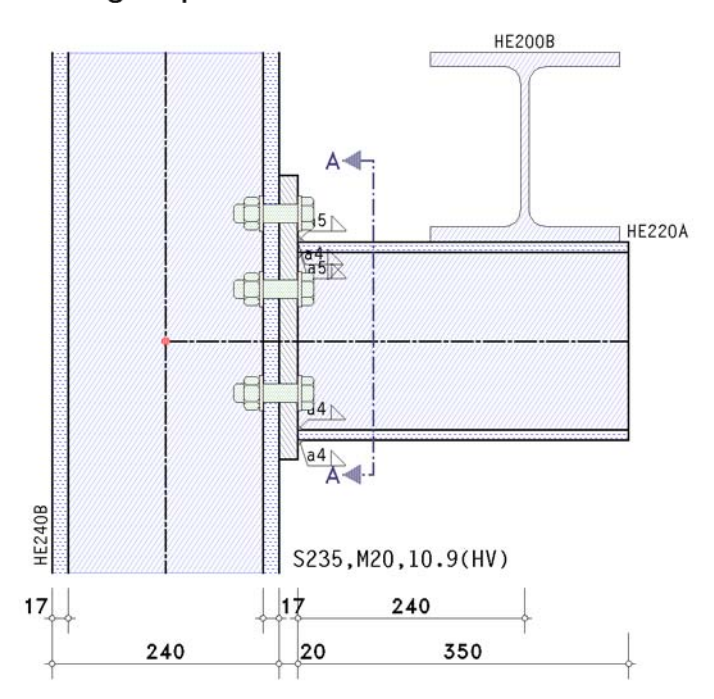
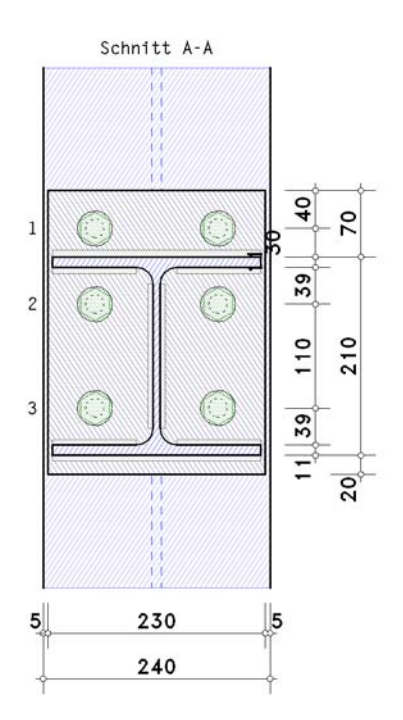
Konsole EC 3-1-8 (12.10), NA: Deutschland

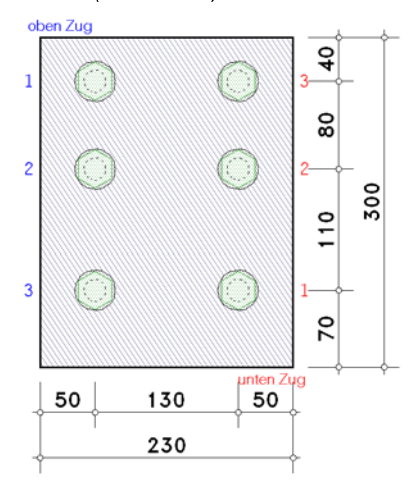
Eingabeprotokoll

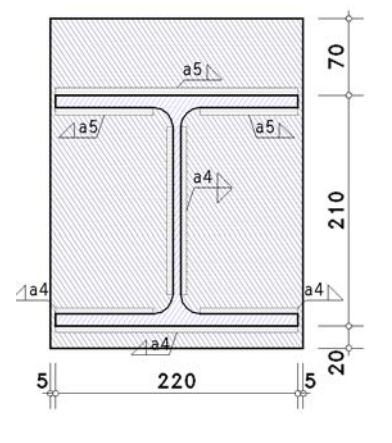




4H-EC3SK Version: 6/2025-1b

Details (Schnitt A - A)





Stahlsorte

Stahlgüte S235

Parameter der Stütze

Profil HE240B

Parameter des Trägers

Profil HE220A

Schrauben

Festigkeitsklasse 10.9, Schraubengröße M20

große Schlüsselweite (HV-Schraube), vorgespannt (zur Info: Regelvorspannkraft Fp,c* = 0.7·fyb·As = 154.3 kN) Schaft in der Scherfuge

Schweißnähte

Trägerflansch oben: Kehlnaht, Nahtdicke a = 5.0 mm

Trägersteg: Kehlnaht, Nahtdicke a = 4.0 mm

Trägerflansch unten: Kehlnaht, Nahtdicke a = 4.0 mm 75% der Druckspannung wird über Kontakt abgetragen

Parameter der Verbindung

geschraubter Stirnblechanschluss

Stirnblech Dicke $t_p = 20.0 \text{ mm}$, Breite $b_p = 230.0 \text{ mm}$, Länge $l_p = 300.0 \text{ mm}$

Überstände $h_{p,o} = 70.0 \text{ mm}, h_{p,u} = 20.0 \text{ mm}$

Schrauben:

3 Schraubenreihen mit je 2 Schrauben

Achsabstand der Schrauben zum seitlichen Rand des Stirnblechs e2 = 50.0 mm



Achsabstand der ersten Schraubenreihe zum oberen Rand des Stirnblechs (Endreihe) eo = 40.0 mm Achsabstand der letzten Schraubenreihe zum unteren Rand des Stirnblechs (Endreihe) eu = 70.0 mm Achsabstand der Schraubenreihen voneinander p₁₋₂ = 80.0 mm, p₂₋₃ = 110.0 mm

Abstand der Querbelastung ∆a = 240.0 mm

Nachweis der Lasteinleitung:

Querbelastung auf dem Obergurt der Konsole aus einem Lastträger (Trägerkreuzung) Profil HE200B Nachweis der Ermüdung:

Schadensäquivalenzfaktoren λ_{σ} = 1.000, λ_{τ} = 1.000

Ermittlung der Tragfähigkeiten

Nachweis der Konsole-Stützenverbindung, Grenzzustand der Tragfähigkeit (GZT)

Nachweis der Lasteinleitung, Trägerkreuzung, Grenzzustand der Tragfähigkeit (GZT)

Ermüdungsnachweise der Verbindung sowie des Konsolprofils, Grenzzustand der Ermüdung (GZE)

Konsolbelastung und Schnittgrößen im Schnittpunkt der Systemachsen (GZT)

Lk	F1,Ed	$H_{1,Ed}$		
	kN	kN		
1	150.00	50.00		

F_{1,Ed},H_{1,Ed}: Belastung der Konsole

Konsolbelastung (GZE)

Lk	F1,Ed	$H_{1,Ed}$
	kN	kΝ
1	80.00	
2	110.00	40.00

F1.Fd.H1.Fd: Belastung der Konsole

Materialsicherheitsbeiwerte (GZT)

Beanspruchbarkeit von Querschnitten $\gamma_{M0} = 1.00$

Beanspruchbarkeit von Bauteilen bei Stabilitätsversagen $\gamma_{M1} = 1.10$

Beanspruchbarkeit von Schrauben, Schweißnähten, Blechen auf Lochleibung γ_{M2} = 1.25

Materialsicherheitsbeiwert (GZE)

Bemessungskonzept: Schadenstoleranz, Schadensfolgen: hoch ⇒ Ermüdungsfestigkeit γMf = 1.15

Nachweise

2.1. Ergebnistabelle (GZT)

2.1.1. Ausnutzungen

Lk	Uj	U ₁	Uj,b	$U_\mathtt{j,\sigma}$	$U_{ exttt{j,} au}$	Uj,w	U1,σ	$U_{1,b}$	Uı,i	U
1	0.829	0.915	0.829	0.341	0.593	0.625	0.915	0.433	0.832	0.915*

Uį: res. Ausnutzung aus Träger-Stütze-Anschluss; Uį: res. Ausnutzung aus Lasteinleitung; Uį,b: Querschnittsausnutzung Träger ${\sf U}_{
m j,\sigma}$: Ausnutzung aus Biegung; ${\sf U}_{
m j,\tau}$: Ausnutzung aus Querkraft; ${\sf U}_{
m j,w}$: Ausnutzung aus Schweißnaht

Ul.o: Ausnutzung aus Spannungen am Steganschnitt; Ul.b: Ausnutzung aus Querlastbeulen; Ul.i: Ausnutzung aus Interaktion U: Ausnutzung der Verbindung

2.2. Anschluss an die Stütze (GZT)

Biegesteifer Trägeranschluss EC 3-1-8 (12.10), NA: Deutschland

Hinweis

Der Nachweis der Verbindung nach EC 3-1-8 erfolgt ohne Berücksichtigung der Vorspannkräfte. Verbindungen können jedoch mit vorgespannten HV-Schrauben ausgeführt werden.

Datencheck

ok

Schraubenabstände am Stirnblech

horizontal: $e_2 = 50.0 \text{ mm} > 1.2 \cdot d_0 = 26.4 \text{ mm}$, $e_2 = 50.0 \text{ mm} < 4.t + 40 \text{ mm} = 108.0 \text{ mm}$ horizontal: $p_2 = 130.0 \text{ mm} > 2.4 \cdot d_0 = 52.8 \text{ mm}$, $p_2 = 130.0 \text{ mm} < \min(14.t, 200 \text{ mm}) = 200.0 \text{ mm}$ oben-unten: $e_1 = 40.0 \text{ mm} > 1.2 \cdot d_0 = 26.4 \text{ mm}$, $e_1 = 40.0 \text{ mm} < 4.t + 40 \text{ mm} = 108.0 \text{ mm}$ oben-unten: $p_1 = 80.0 \text{ mm} > 2.2 \cdot d_0 = 48.4 \text{ mm}$, $p_1 = 80.0 \text{ mm} < \min(14 \cdot t, 200 \text{ mm}) = 200.0 \text{ mm}$ oben-unten: $p_1 = 110.0 \text{ mm} > 2.2 \cdot d_0 = 48.4 \text{ mm}$ $p_1 = 110.0 \text{ mm} < \min(14.t, 200 \text{ mm}) = 200.0 \text{ mm}$ oben-unten: $e_1 = 70.0 \text{ mm} > 1.2 \cdot d_0 = 26.4 \text{ mm}$, $e_1 = 70.0 \text{ mm} < 4.t + 40 \text{ mm} = 108.0 \text{ mm}$ Schraubenabstand vom Stützenrand

horizontal: $e_2 = 55.0 \text{ mm} > 1.2 \cdot d_0 = 26.4 \text{ mm}$, $e_2 = 55.0 \text{ mm} < 4.t + 40 \text{ mm} = 108.0 \text{ mm}$

2.2.1. Ergebnistabelle

Ausnutzung

Lk	Uσ,b	Um	$U_{\boldsymbol{v}}$	U_{wp}	U_{ep}	Usb	U
			= = =		= = =		
1	0.829	0.341	0.183	0.437	0.593	0.625	0.829*

U_{σ,b}: Spannungsausnutzung am Träger; U_m: Ausnutzung aus Biegung; U_V: Ausnutzung aus Abscheren/Lochleibung U_{wp} : Ausnutzung aus Schub im Stützensteg; U_{ep} : Ausnutzung aus Schub im Stirnblech; U_{sb} : Ausnutzung aus Schweißnaht U: Ausnutzung der Verbindung

*) maximale Ausnutzung



^{*)} maximale Ausnutzung

2.2.2. Endergebnis

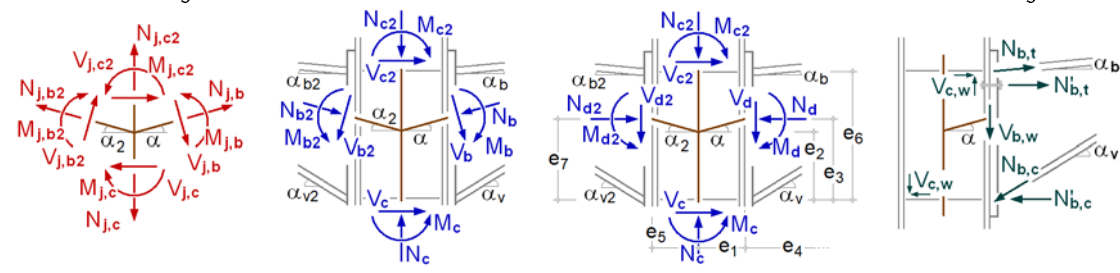
Maximale Ausnutzung: max U = 0.829 < 1 ok

2.2.3. Lk 1 (maßgebend)

2.2.3.1. Bemessungsgrößen

Knotenschnittgrößen Anschnitt Anschluss ⊥ zur Anschlussebene

Teilschnittgrößen



Neigungswinkel: $\alpha_b = \alpha = \alpha_V = 0^\circ$

Abstände: e₁ = 120.0 mm, e₃ = 99.5 mm, e₂ = 99.5 mm, e₆ = 199.0 mm

Schnittgrößen senkrecht zu den Anschlussebenen

Anschnitt Träger

 $N_d = 50.00 \ kN, \ M_d = 33.75 \ kNm, \ V_d = 150.00 \ kN$

Teilschnittgrößen

Schnittgrößen im Anschnitt Stirnblech-Träger: M'd = Md - Vd·tp = 30.75 kNm

 $N_{b,t} = -N_d \cdot z_{bu}/z_b + M'_d/z_b = 129.52 \text{ kN}, z_b = 199.0 \text{ mm}, z_{bu} = 99.5 \text{ mm}$

 $N_{b,c} = N_{d} \cdot z_{bo}/z_{b} + M'_{d}/z_{b} = 179.52 \text{ kN}, z_{b} = 199.0 \text{ mm}, z_{bo} = 99.5 \text{ mm}$

 $V_{b,t} = -N_{b,t} \cdot \sin(\alpha_b) = 0.00 \text{ kN}, \ V_{b,c} = N_{b,c} \cdot \sin(\alpha_v) = 0.00 \text{ kN}, \ V_{b,w} = V_d - V_{b,t} - V_{b,c} = 150.00 \text{ kN}$

2.2.3.2. Querschnittstragfähigkeit im Anschnitt

elastischer Spannungsnachweis für N = -50.00 kN, My = -30.75 kNm, Vz = 150.00 kN

Nachweis: $\sigma_V = 194.83 \text{ N/mm}^2 < \sigma_{V,Rd} = 235.00 \text{ N/mm}^2 \Rightarrow U_{\sigma} = 0.829 < 1 \text{ ok}$

c/t-Verhältnis: einseitig gestützt: Ausnutzung Uc/t = 0.306 < 1 ok

beidseitig gestützt: Ausnutzung Uc/t = 0.106 < 1 ok

2.2.3.3. Anschlusstragfähigkeit

Übertragungsparameter: $\beta_j = 1.00$

2.2.3.3.1. Biegetragfähigkeit

Abstand der Zug-Schraubenreihen vom Druckpunkt: h₁ = 234.5 mm, h₂ = 154.5 mm, h₃ = 44.5 mm

Tragfähigkeit je Schraubenreihe (Zug)

Reihe 1: $F_{tr,Rd} = 277.3 \text{ kN}$

Reihe 2: $F_{tr,Rd} = 218.4 \text{ kN}$

Reihe 3: $F_{tr,Rd} = 71.8 \text{ kN}$

 $\Sigma F_{tr,Rd}{}^{\star} = 567.5 \ kN$

Tragfähigkeit je Schraubenreihe (Biegung)

Reihe 1: $F_{tr,Rd} = 277.3 \text{ kN}$

Reihe 2: $F_{tr,Rd} = 124.9 \text{ kN}$

Reihe 3: $F_{tr,Rd} = 0.0 \text{ kN}$

 Σ Ftr.Rd = 402.2 kN

Mögliches Versagen durch Grundkomponente 2, 3, 4

Tragfähigkeit der Flansche

 $\Sigma F_{c,Rd}^* = 804.4 \text{ kN}$

Biegetragfähigkeit

 $M_{i,Rd} = \Sigma(F_{tr,Rd} \cdot h_r) = 84.3 \text{ kNm}$

Zugtragfähigkeit

 $N_{j,t,Rd} = \Sigma F_{tr,Rd}^* = 567.5 \text{ kN}$

Drucktragfähigkeit

 $N_{j,c,Rd} = \Sigma F_{c,Rd}^* = 804.4 \text{ kN}$

2.2.3.3.2. Abscher-/Lochleibungstragfähigkeit

Tragfähigkeit je Schraubenreihe

Reihe 1: $F_{vr,Rd} = 132.3 \text{ kN}$ Reihe 2: $F_{vr,Rd} = 225.3 \text{ kN}$ Reihe 3: $F_{vr,Rd} = 301.6 \text{ kN}$ $\Sigma F_{vr,Rd} = 659.2 \text{ kN}$

Abscher-/Lochleibungstragfähigkeit

 $V_{j,Rd} = \Sigma F_{vr,Rd} = 659.2 \text{ kN}$

2.2.3.3.3. Schubtragfähigkeit

Schubtragfähigkeit des Stirnblechs

Stirnblech: $V_{ep,Rd} = 412.46 \text{ kN}$ Schweißnähte: $F_{w,Rd} = 252.74 \text{ kN}$

Schubtragfähigkeit des Stirnblechs: Vep,Rd = Fw,Rd = 252.74 kN

Schubtragfähigkeit des Stützenstegs

 $V_{wp,Rd} = 405.7 \text{ kN}$

2.2.3.3.4. Gesamt

 $M_{j,Rd} = 84.3 \text{ kNm}$ $N_{j,t,Rd} = 567.5 \text{ kN}$ $N_{j,c,Rd} = 804.4 \text{ kN}$ $V_{j,Rd} = 659.2 \text{ kN}$ $V_{wp,Rd} = 405.7 \text{ kN}$ $V_{ep,Rd} = 252.7 \text{ kN}$

2.2.3.4. Nachweise

2.2.3.4.1. Nachweis der Anschlusstragfähigkeit mit der Komponentenmethode

Normalkraft: $N_{b,Ed} = |N_d| = 50.00 \text{ kN } < 5\% \cdot N_{pl,Rd} = 75.60 \text{ kN } \Rightarrow \text{Biegetragfähigkeit}$

Biegemoment: $MEd = Md - Nd \cdot Zbu = 28.77 \text{ kNm}, Zbu = 99.5 \text{ mm}$

Querkraft: $V_{Ed} = |V_d| = 150.00 \text{ kN}$

Schubkraft: $V_{c,w,Ed} = M_d/z - (V_{c1}-V_{c2})/2 = 177.22 \text{ kN}, z = 190.4 \text{ mm}$

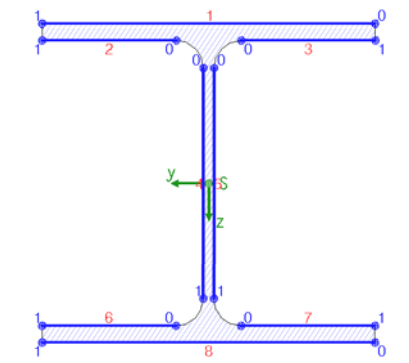
Schubkraft: $V_{b,w,Ed} = 150.00 \text{ kN}$

2.2.3.4.2. Nachweis der Schweißnähte am Trägerprofil

Naht 1: Trägerflansch mit Zug außen

Naht 8: Trägerflansch mit Druck außen Berechnungsquerschnitt:

Nähte 2,3: Trägerflansch mit Zug innen Nähte 4,5: Trägersteg beidseitig Nähte 6,7: Trägerflansch mit Druck innen



Naht 1: $a_w = 5.0 \text{ mm}$ $l_w = 220.0 \text{ mm}$ Naht 2: $a_{\rm W} = 5.0 \, {\rm mm}$ $l_w = 88.5 \text{ mm}$ Naht 3: siehe Naht 2 Naht 4: $a_{w} = 4.0 \text{ mm}$ $l_w = 152.0 \text{ mm}$ Naht 5: siehe Naht 4 Naht 6: $a_w = 4.0 \text{ mm}$ $l_w = 88.5 \text{ mm}$ Naht 7: siehe Naht 6 Naht 8: $a_w = 4.0 \text{ mm}$ $l_w = 220.0 \text{ mm}$

Bemessungsgrößen bezogen auf den Schwerpunkt des Profils:

 $N_{Ed} = -50.00 \text{ kN}, M_{y,Ed} = -33.75 \text{ kNm}, V_{z,Ed} = 150.00 \text{ kN}$

Querschnittswerte bezogen auf den Schwerpunkt des Linienquerschnitts:

 $\Sigma A_W = 47.89 \text{ cm}^2, \ A_{W,z} = 12.16 \text{ cm}^2, \ \Sigma I_W = 109.8 \text{ cm}$ $I_{W,y} = 3791.67 \text{ cm}^4, \ I_{W,z} = 1592.73 \text{ cm}^4, \ \Delta z_W = -8.3 \text{ mm}$

Nachweise in den Endpunkten der Nähte:

75% Spannungsabtrag über Druckkontakt

 \Rightarrow U_w = 0.297 < 1 ok Naht 1, Pkt. 0: $\sigma_{w,x} = 75.63 \text{ N/mm}^2$ Pkt. 0: $\sigma_{w,x} = 65.84 \text{ N/mm}^2$ \Rightarrow U_w = 0.259 < 1 ok Naht 2, Naht 4, Pkt. 0: $\sigma_{w,x} = 49.82 \text{ N/mm}^2$ $\tau_{W,z} = 123.36 \text{ N/mm}^2$ \Rightarrow U_w = 0.625 < 1 ok Pkt. 1: $\sigma_{w,x} = -21.37 \text{ N/mm}^2$ $\tau_{W,z} = 123.36 \text{ N/mm}^2$ \Rightarrow U_w = 0.599 < 1 ok Pkt. 0: $\sigma_{w,x} = -25.37 \text{ N/mm}^2$ \Rightarrow U_w = 0.100 < 1 ok Naht 6, \Rightarrow U_w = 0.109 < 1 ok Naht 8, Pkt. 0: $\sigma_{w,x} = -27.82 \text{ N/mm}^2$

Ergebnis:

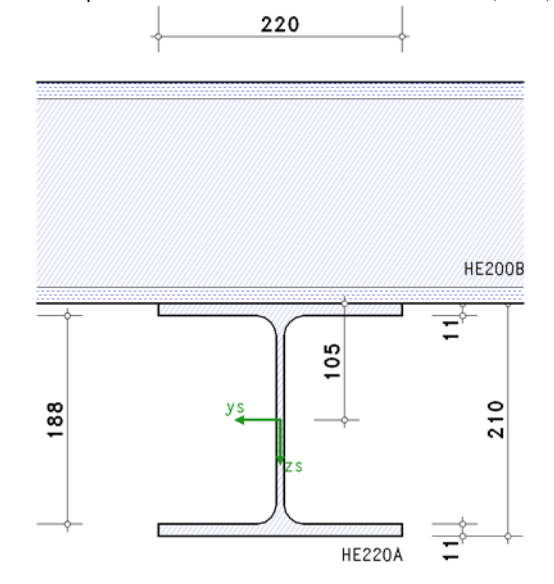
Naht 4, Pkt. 0: $\sigma_{W,x} = 49.82 \text{ N/mm}^2$ $\tau_{W,z} = 123.36 \text{ N/mm}^2$ Max: $\sigma_{1,w,Ed} = 224.98 \text{ N/mm}^2 < f_{1w,d} = 360.00 \text{ N/mm}^2$,

2.2.3.4.3. Nachweisergebnis

Maximale Ausnutzung: max U = 0.829 < 1 ok

2.3. Lasteinleitung in die Konsole (GZT)

Sonderprobleme nach Eurocode 3 EC 3-1-5 (10.19), NA: Deutschland



Voraussetzung: Flanschinduziertes Stegbeulen ist ausgeschlossen.

Voraussetzung: Platten-/Schubbeulen ist ausgeschlossen.

2.3.1. Ergebnistabelle

Lk	Fz,Ed	NEd	M_{Ed}	$V_{\rm Ed}$	Uσ	Ub	Ui	U
	kN	kΝ	kNm	kN				
1	150.00	-50.00	5.25	150.00	0.915	0.433	0.832	0.915*

 $F_{Z,Ed}$: vertikale Einzellast aus einem Lastträger; N_{Ed} , N_{Ed} , N_{Ed} . Bemessungsgrößen im Querschnitt; U_{σ} : Ausnutzung aus Spannungen am Steganschnitt U_{b} : Ausnutzung aus Querlastbeulen; U_{i} : Ausnutzung aus Interaktion; U: Ausnutzung aus Lasteinleitung

*) maximale Ausnutzung

2.3.2. Endergebnis

Maximale Ausnutzung [Lk 1]: max U = 0.915 < 1 ok

2.3.3. Lk 1 (maßgebend)

Querschnittswerte: $A = 64.34 \text{ cm}^2$, $z_s = 105.0 \text{ mm}$, $l_y = 5409.75 \text{ cm}^4$, $y_s = 0.0 \text{ mm}$, $l_z = 1954.56 \text{ cm}^4$

Lasteinzugsbreite durch den Träger $s_s' = 2 \cdot t_f + t_w + 1.172 \cdot r = 50.1 \text{ mm}$

Lasteinzugslänge durch den Lastträger ss = 2·tf + tw + 1.172·r = 60.1 mm

Zur Info: Lagerpressung Fz,Ed,GZT/(Ss·Ss') = 49.84 N/mm²

wirksame Lasteinleitungslänge leff = ss + 2·tf = 82.1 mm

Länge der starren Lasteinleitung:

bezogen auf die Flanschaußenkante $s_s = l_{eff} - 2 \cdot t_f = 60.1 \text{ mm}$ / auf den Steganschnitt $s_w = l_{eff} + 2 \cdot r = 118.1 \text{ mm}$

2.3.3.1. Stegpressung (GZT)

zulässige Spannungen: $\sigma_{Rd} = f_y/\gamma_{M0} = 235.0 \text{ N/mm}^2$, $\tau_{Rd} = f_y/(3^{1/2}.\gamma_{M0}) = 135.7 \text{ N/mm}^2$

Einzellastpressung am Steganschnitt:

lokale Spannungen σoz,Ed = -181.5 N/mm²

 $|\sigma_{oz,Ed}| = 181.5 \text{ N/mm}^2 < \sigma_{Rd} = 235.0 \text{ N/mm}^2 \Rightarrow U = 0.772 < 1 \text{ ok}$

Spannungen am Steganschnitt:

Querbelastung Fz,Ed = 150.0 kN

Schubbeulen: $h_p/t_p = 26.86 \le 72 \cdot \epsilon/\eta = 60.00$ ok

Lk 1: Ned = -50.0 kN, $M_{y,Ed}$ = 5.3 kNm, $V_{z,Ed}$ = 150.0 kN

Plattenbeulen: Q-Klasse des Profils 1 ≤ 3 ok

Spannungen $\sigma_{x,Ed} = -15.1 \text{ N/mm}^2$, $\tau_{xz,Ed} = 72.6 \text{ N/mm}^2$

 $|\sigma_{x,Ed}|$ = 15.1 N/mm² < σ_{Rd} = 235.0 N/mm² \Rightarrow U = 0.064 < 1 ok

 $|\tau_{XZ,Ed}| = 72.6 \ N/mm^2 \ < \ \tau_{Rd} = 135.7 \ N/mm^2 \ \Rightarrow \ U = 0.535 \ < \ 1 \ \ ok$

 $\sigma_V = 215.0 \text{ N/mm}^2 < \sigma_{Rd} = 235.0 \text{ N/mm}^2 \implies U = 0.915 < 1 \text{ ok}$

Ausnutzung am Steganschnitt max $U_{\sigma} = 0.915 < 1$ ok

Maximale Ausnutzung: max U = 0.915 < 1 ok

2.3.3.2. Querlastbeulen (GZT)

Schlankheitsgrad $\lambda_F = (F_y/F_{cr})^{1/2} = 0.385$, $F_y = 381.2$ kN

Abminderungsfaktor $\chi F = 1.000$

Beulwiderstand $F_{z,Rd} = f_y \cdot L_{eff} \cdot t_w / \gamma_{M1} = 346.58 \text{ kN}, L_{eff} = \chi_F \cdot l_y = 231.8 \text{ mm}, l_y = 231.8 \text{ mm}$

Nachweis: $F_{z,Ed}/F_{z,Rd} = 0.433 < 1$ ok

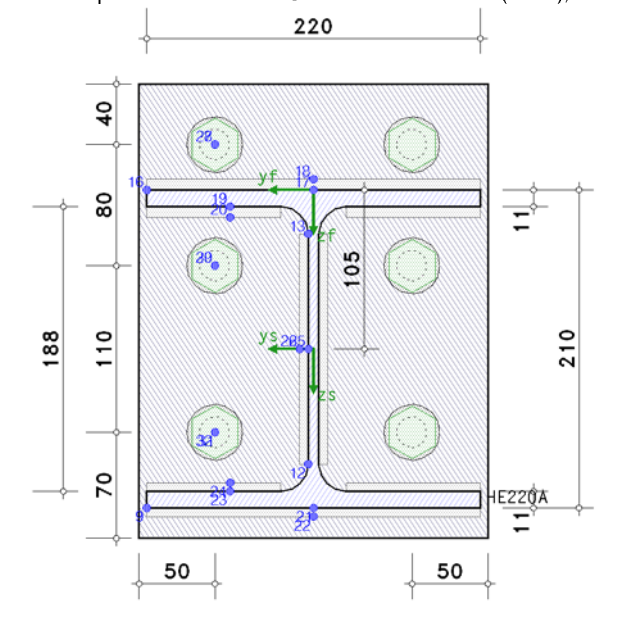
Interaktion (ohne Platten-/Schubbeulen):

Querbelastung und Vergleichsspannung $(\eta_2 + 0.8 \cdot \eta_1) / 1.4 = 0.832 < 1$ ok

mit $\eta_2 = F_{z,Ed}/F_{z,Rd} = 0.433$, $\eta_1 = max U_{\sigma} = 0.915$

2.4. Ermüdung der Verbindung Konsole-Stütze (GZE)

Sonderprobleme nach Eurocode 3 EC 3-1-9 (12.10), NA: Deutschland



Kerbfälle / zul. Kerbspannungen bei N = 2·10⁶ Schwingspielen:

Pkt	Уf	Zf	Δσx,Rd	∆τ Rd	Δσz,Rd	Kerbpunkt	EC 3-1-9, Tab.
	mm	mm	N/mm^2	N/mm^2	N/mm²		
9	110.0	210.0	160.0	0.0	0.0	am Untergurt	8.1(2)
12	3.5	181.0	160.0	100.0	0.0	am Trägersteg	8.1(2) 8.1(6)
13	3.5	29.0	160.0	100.0	160.0	am Trägersteg	8.1(2) 8.1(6) 8.10(1)
16	110.0	0.0	160.0	0.0	0.0	am Obergurt	8.1(2)
° 17	0.0	0.0	36.0	0.0	0.0	am Blech (Obergurt)	8.5(3)
18	0.0	-7.1	80.0	0.0	0.0	am Blech (Obergurt)	8.5(1)
° 19	55.0	11.0	36.0	0.0	0.0	am Blech (Obergurt)	8.5(3)
20	55.0	18.1	80.0	0.0	0.0	am Blech (Obergurt)	8.5(1)
° 21	0.0	210.0	36.0	0.0	0.0	am Blech (Untergurt)	8.5(3)
22	0.0	215.7	80.0	0.0	0.0	am Blech (Untergurt)	8.5(1)
° 23	55.0	199.0	36.0	0.0	0.0	am Blech (Untergurt)	8.5(3)
24	55.0	193.3	80.0	0.0	0.0	am Blech (Untergurt)	8.5(1)
° 25	3.5	105.0	36.0	80.0	0.0	am Blech (Steg)	8.5(3) 8.5(8)
26	9.2	105.0	0.0	100.0	0.0	am Blech (Steg)	8.2(5)
x 27	65.0	-30.0	50.0	100.0	0.0	am Blech	8.1(14) 8.1(15)
28	65.0	-30.0	90.0	0.0	0.0	am Blech	8.1(10)
x 29	65.0	50.0	50.0	100.0	0.0	am Blech	8.1(14) 8.1(15)
30	65.0	50.0	90.0	0.0	0.0	am Blech	8.1(10)
x 31	65.0	160.0	50.0	100.0	0.0	am Blech	8.1(14) 8.1(15)
32	65.0	160.0	90.0	0.0	0.0	am Blech	8.1(10)
o. NI I-		:0	NI !-				

^{°:} Nachweis der Schweißnaht, x: Nachweis der Schraube

Belastung

Lk 1: $N_{Ed} = -0.00 \text{ kN}, M_{y,Ed} = -20.80 \text{ kNm}, V_{z,Ed} = 80.00 \text{ kN}$

Lk 2: $N_{Ed} = -40.00 \text{ kN}, M_{y,Ed} = -24.40 \text{ kNm}, V_{z,Ed} = 110.00 \text{ kN}$

2.4.1. Ermüdungsnachweis

Schraubenabstände am Stirnblech:

horizontal: $e_2 = 50.0 \text{ mm} > 1.5 \cdot d_0 = 33.0 \text{ mm}$ horizontal: $p_2 = 130.0 \text{ mm} > 2.5 \cdot d_0 = 55.0 \text{ mm}$ vertikal: $e_1 = 40.0 \text{ mm} > 1.5 \cdot d_0 = 33.0 \text{ mm}$ vertikal: $p_1 = 80.0 \text{ mm} > 2.5 \cdot d_0 = 55.0 \text{ mm}$ vertikal: $p_1 = 110.0 \text{ mm} > 2.5 \cdot d_0 = 55.0 \text{ mm}$ vertikal: $e_1 = 70.0 \text{ mm} > 1.5 \cdot d_0 = 33.0 \text{ mm}$

Querschnittswerte: $A = 64.34 \text{ cm}^2$, $z_s = 105.0 \text{ mm}$, $l_y = 5409.75 \text{ cm}^4$, $y_s = 0.0 \text{ mm}$, $l_z = 1954.56 \text{ cm}^4$

Spannungsschwingbreiten:

Pkt. 21: $y_f = 0.0 \text{ mm}, z_f = 210.0 \text{ mm}$ $\Delta \sigma_{x,Ed} = 22.6 \text{ N/mm}^2$

Spannungsschwingbreiten infolge Ermüdung:

Pkt. 21: $y_f = 0.0 \text{ mm}, z_f = 210.0 \text{ mm}$ $\Delta \sigma_{x,f} = 22.6 \text{ N/mm}^2$

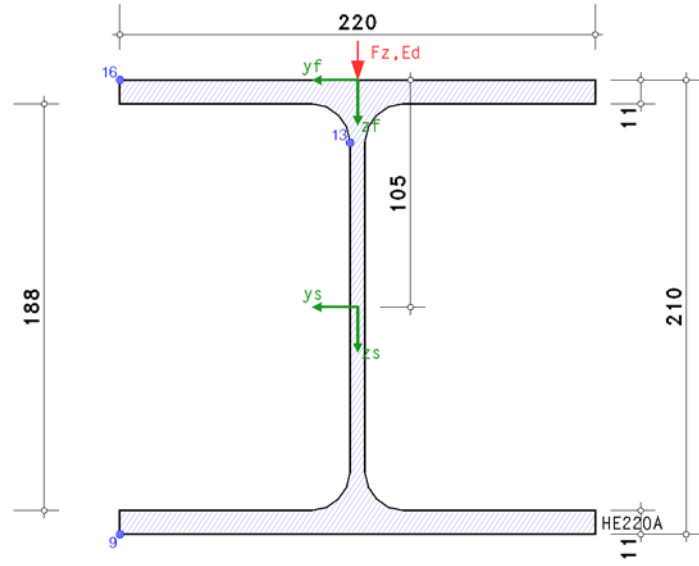
Nachweis der Kerbspannungen:

Pkt. 21: y = 0.0 mm, z = 210.0 mm $\Delta \sigma_{x,f} = 22.6 \text{ N/mm}^2 < \Delta \sigma_{x,Rd,f} = 31.3 \text{ N/mm}^2 \Rightarrow U_{\Delta\sigma x} = 0.721 \text{ ok}$

Ermüdungsnachweis [Pkt. 21]: max U = 0.721 < 1 ok

2.5. Ermüdung des Konsolprofils (GZE)

Sonderprobleme nach Eurocode 3 EC 3-1-9 (12.10), NA: Deutschland



Kerbfälle / zul. Kerbspannungen bei N = 2·10⁶ Schwingspielen:

Pkt	Уf	Zf	Δσx,Rd	∆τ Rd	∆ σz,Rd	Kerbpunkt	EC 3-1-9, Tab.
	mm	mm	N/mm²	N/mm^2	N/mm²		
9	110.0	210.0	160.0	0.0	0.0	am Untergurt	8.1(2)
13	3.5	29.0	160.0	100.0	160.0	am Trägersteg	8.1(2) 8.1(6) 8.10(1)
16	110.0	0.0	160.0	0.0	0.0	am Obergurt	8.1(2)

Belastung

Lk 1: $N_{Ed} = -0.00 \text{ kN}, M_{y,Ed} = 0.00 \text{ kNm}, V_{z,Ed} = 80.00 \text{ kN}$

Lk 2: $N_{Ed} = -40.00 \text{ kN}, M_{y,Ed} = 4.20 \text{ kNm}, V_{z,Ed} = 110.00 \text{ kN}$

Querbelastung auf dem Obergurt: vertikale Einzellast Fz,Ed = 110.0 kN

2.5.1. Ermüdungsnachweis

Querschnittswerte: $A = 64.34 \text{ cm}^2$, $z_s = 105.0 \text{ mm}$, $l_y = 5409.75 \text{ cm}^4$, $y_s = 0.0 \text{ mm}$, $l_z = 1954.56 \text{ cm}^4$

wirksame Lasteinleitungslänge leff = $s_s + 2 \cdot t_f = 82.1$ mm ... am Trägersteg $\sigma_{oz} = -133.1$ N/mm², $\tau_o = 26.6$ N/mm²

Spannungsschwingbreiten:

Pkt. 13: $y_f = 3.5 \text{ mm}, z_f = 29.0 \text{ mm}$ $\Delta \sigma_{x,Ed} = 12.1 \text{ N/mm}^2$ $\Delta \tau_{Ed} = 74.1 \text{ N/mm}^2$ $\Delta \sigma_{z,Ed} = 133.1 \text{ N/mm}^2$

Spannungsschwingbreiten infolge Ermüdung:

Pkt. 13: $y_f = 3.5 \text{ mm}, z_f = 29.0 \text{ mm}$ $\Delta \sigma_{x,f} = 12.1 \text{ N/mm}^2$ $\Delta \tau_f = 74.1 \text{ N/mm}^2$ $\Delta \sigma_{z,f} = 133.1 \text{ N/mm}^2$

Nachweis der Kerbspannungen:

Pkt. 13: y = 3.5 mm, z = 29.0 mm $\Delta \sigma_{x,f} = 12.1 \text{ N/mm}^2 < \Delta \sigma_{x,Rd,f} = 139.1 \text{ N/mm}^2 \Rightarrow U_{\Delta \sigma x} = 0.087 \text{ ok}$

 $\Delta \tau_f = 74.1 \text{ N/mm}^2 < \Delta \tau_{Rd,f} = 87.0 \text{ N/mm}^2$ $\Rightarrow U_{\Delta \tau} = 0.852$ ok $\Delta \sigma_{z,f} = 133.1 \text{ N/mm}^2 < \Delta \sigma_{z,Rd,f} = 139.1 \text{ N/mm}^2 \Rightarrow U_{\Delta \sigma z} = 0.956 \text{ ok}$ Interaction $U_i = U_{\Delta \sigma x}^3 + U_{\Delta \sigma z}^3 + U_{\Delta \tau}^5 = 1.324 > 1$ nicht ok !!

Ermüdungsnachweis [Pkt. 13]: max U = 0.956 < 1 ok

Endergebnis

Maximale Ausnutzung: max U = 0.956 < 1 okErmüdung der Verbindung / des Profils

Nachweis erbracht

4. Vorschriften

EN 1990, Eurocode 0: Grundlagen der Tragwerksplanung; Deutsche Fassung EN 1990:2002 + A1:2005 + A1:2005/AC:2010, Ausgabe Dezember 2010 EN 1990/NA, Nationaler Anhang zur EN 1990, Ausgabe Dezember 2010

EN 1993-1-1, Eurocode 3: Bemessung und Konstruktion von Stahlbauten -Teil 1-1: Allgemeine Bemessungsregeln und Regeln für den Hochbau; Deutsche Fassung EN 1993-1-1:2005 + AC:2009, Ausgabe Dezember 2010 EN 1993-1-1/A1, Ergänzungen zur EN 1993-1-1, Ausgabe Juli 2014 EN 1993-1-1/NA, Nationaler Anhang zur EN 1993-1-1, Ausgabe Dezember 2018

EN 1993-1-8, Eurocode 3: Bemessung und Konstruktion von Stahlbauten -Teil 1-8: Bemessung von Anschlüssen; Deutsche Fassung EN 1993-1-8:2005 + AC:2009, Ausgabe Dezember 2010 EN 1993-1-8/NA, Nationaler Anhang zur EN 1993-1-8, Ausgabe Dezember 2010

EN 1993-1-5, Eurocode 3: Bemessung und Konstruktion von Stahlbauten - Teil 1-5: Plattenförmige Bauteile; Deutsche Fassung EN 1993-1-5:2006 + AC:2009 + A1:2017 + A2:2019, Ausgabe Oktober 2019 EN 1993-1-5/NA, Nationaler Anhang zur EN 1993-1-5, Ausgabe Dezember 2010

EN 1993-1-9, Eurocode 3: Bemessung und Konstruktion von Stahlbauten - Teil 1-9: Ermüdung; Deutsche Fassung EN 1993-1-9:2006 + AC:2009, Ausgabe Dezember 2010 EN 1993-1-9/NA, Nationaler Anhang zur EN 1993-1-9, Ausgabe Dezember 2010